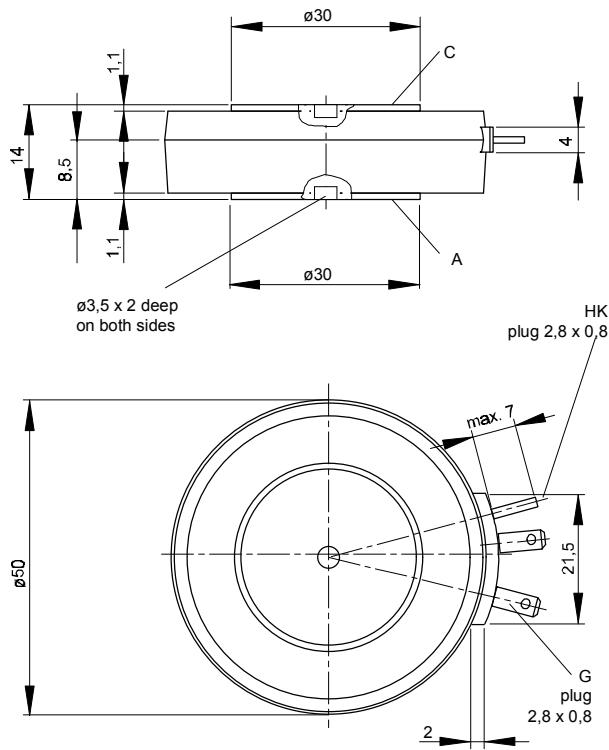


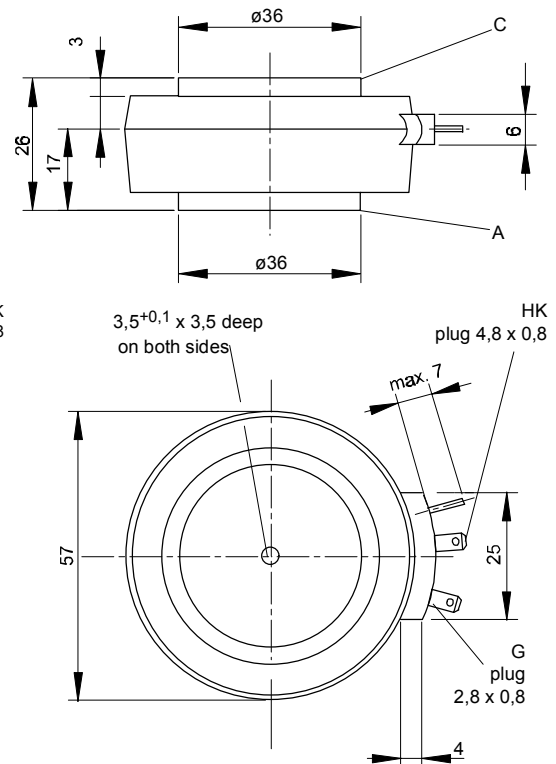
European Power-
Semiconductor and
Electronics Company

Marketing Information

T 588 N



T 589 N



T 588 N T 589 N

Elektrische Eigenschaften

Höchstzulässige Werte

Periodische Vorwärts- und Rückwärts-Spitzenperrspannung

Vorwärts-Stoßspitzenperrspannung

Rückwärts-Stoßspitzenperrspannung

Durchlaßstrom-Grenzeffektivwert

Dauergrenzstrom

Stoßstrom-Grenzwert

Grenzlastintegral

Kritische Stromteilheit

Kritische Spannungsteilheit

Electrical properties

Maximum rated values

repetitive peak forward off-state and reverse voltages

$$t_{vj} = -40^\circ\text{C} \dots t_{vj\ max}$$

$$V_{DRM}, V_{RRM}$$

600 800 1000 1200
1400 1600 1800*

V

non-repetitive peak forward off-state voltage

$$t_{vj} = -40^\circ\text{C} \dots t_{vj\ max}$$

$$V_{DSM} = V_{DRM}$$

600 800 1000 1200
1400 1600 1800*

V

non-repetitive peak reverse voltage

$$t_{vj} = +25^\circ\text{C} \dots t_{vj\ max}$$

$$V_{RSM} = V_{RRM}$$

700 900 1100 1300
1500 1700 1900

V

Durchlaßstrom-Grenzeffektivwert

RMS on-state current

$$I_{TRMSM}$$

1250

A

Dauergrenzstrom

average on-state current

$$I_{TAVM}$$

588

A

$$t_c = 85^\circ\text{C}$$

$$t_c = 61^\circ\text{C}$$

$$t_c = 25^\circ\text{C}$$

$$t_p = 10 \text{ ms}$$

$$I_{TSM}$$

795

A

Stoßstrom-Grenzwert

surge current

$$t_{vj} = 25^\circ\text{C}, t_p = 10 \text{ ms}$$

$$I^2 t$$

9400

A

$$t_{vj} = t_{vj\ max}, t_p = 10 \text{ ms}$$

$$t_{vj} = 25^\circ\text{C}, t_p = 10 \text{ ms}$$

$$t_{vj} = t_{vj\ max}, t_p = 10 \text{ ms}$$

$$442000$$

8000

A²s

Grenzlastintegral

$I^2 t$ -value

$$t_{vj} = 25^\circ\text{C}, t_p = 10 \text{ ms}$$

$$320000$$

A²s

Kritische Stromteilheit

critical rate of rise of on-state current

$$v_D \leq 67\%, V_{DRM}, f = 50 \text{ Hz}$$

$$(di_T/dt)_{cr}$$

200

A/ μ s

Kritische Spannungsteilheit

critical rate of rise of off-state voltage

$$t_{vj} = t_{vj\ max}, v_D = 67\% V_{DRM}$$

$$(dv/dt)_{cr}$$

1000

V/ μ s

Charakteristische Werte

Durchlaßspannung

Characteristic values

on-state voltage

$$t_{vj} = t_{vj\ max}, i_T = 2400 \text{ A}$$

$$v_T$$

max. 2,15

V

Schleusenspannung

threshold voltage

$$t_{vj} = t_{vj\ max}$$

$$V_{T(TO)}$$

0,8

V

Ersatzwiderstand

slope resistance

$$t_{vj} = t_{vj\ max}$$

$$r_T$$

0,5

m Ω

Zündstrom

gate trigger current

$$t_{vj} = 25^\circ\text{C}, v_D = 6 \text{ V}$$

$$I_{GT}$$

max. 250

mA

Zündspannung

gate trigger voltage

$$t_{vj} = 25^\circ\text{C}, v_D = 6 \text{ V}$$

$$V_{GT}$$

max. 2,2

V

Nicht zündender Steuerstrom

gate non-trigger current

$$t_{vj} = t_{vj\ max}, v_D = 6 \text{ V}$$

$$I_{GD}$$

max. 10

mA

Nicht zündende Steuerspannung

gate non-trigger voltage

$$t_{vj} = t_{vj\ max}, v_D = 0,5 V_{DRM}$$

$$V_{GD}$$

max. 0,25

V

Haltestrom

holding current

$$t_{vj} = 25^\circ\text{C}, v_D = 6 \text{ V}, R_A = 5 \Omega$$

$$I_H$$

max. 300

mA

Einraststrom

latching current

$$t_{vj} = 25^\circ\text{C}, v_D = 6 \text{ V}, R_{GK} \geq 10 \Omega$$

$$I_L$$

max. 1,2

A

Vorwärts- und Rückwärts-Sperrstrom

forward off-state and reverse currents

$$t_{vj} = t_{vj\ max}, v_D = V_{DRM}, v_R = V_{RRM}$$

$$i_D, i_R$$

max. 50

mA

Zündverzug

gate controlled delay time

$$t_{vj} = 25^\circ\text{C}, i_{GM} = 1 \text{ A}, di_G/dt = 1 \text{ A}/\mu\text{s}$$

$$t_{gd}$$

max. 4

μ s

Freiwerdezeit

circuit commutated turn-off time

siehe Techn. Erl./see Techn. Inf.

$$t_q$$

typ. 250

μ s

Thermische Eigenschaften

Innerer Wärmewiderstand für beidseitige Kühlung

Thermal properties

thermal resistance, junction to case for two-sided cooling

$$\Theta = 180^\circ \text{ el, sin}$$

$$R_{thJC}$$

max. 0,045

°C/W

für anodenseitige Kühlung

for anode-sided cooling

$$\Theta = 180^\circ \text{ el, sin}$$

$$R_{thJC(A)}$$

max. 0,041

°C/W

für kathodenseitige Kühlung

for cathode-sided cooling

$$\Theta = 180^\circ \text{ el, sin}$$

$$R_{thJC(K)}$$

max. 0,074

°C/W

Übergangs-Wärmewiderstand

thermal resistance, case to heatsink

beidseitig/two-sided

$$R_{thCK}$$

max. 0,007

°C/W

einseitig/one-sided

max. 0,1

°C/W

Höchstzul. Sperrschiichttemperatur

max. junction temperature

$$t_{vj\ max}$$

125

°C

Betriebstemperatur

operating temperature

$$t_{c\ op}$$

-40...+125

°C

Lagertemperatur

storage temperature

$$t_{stg}$$

-40...+140

°C

Mechanische Eigenschaften

Si-Elemente mit Druckkontakt

Mechanical properties

Si-pellet with pressure contact

Anpreßkraft

clamping force

$$T 588 \text{ N/T } 589 \text{ N}$$

$$F$$

6...12

kN

Gewicht

weight

$$T 588 \text{ N/T } 589 \text{ N}$$

$$G$$

typ. 100/270

g

Kriechstrecke

creepage distance

$$T 588 \text{ N/T } 589 \text{ N}$$

$$17/28$$

mm

Feuchtekategorie

humidity classification

$$DIN 40040$$

C

Schwingfestigkeit

vibration resistance

$$f = 50 \text{ Hz}$$

50

m/s²

Maßbild, anliegend

outline, attached

$$DIN 41814-152 A4/-153C4$$

* Für größere Stückzahlen Liefertermin erfragen / Delivery for larger quantities on request

T 588 N, T 589 N

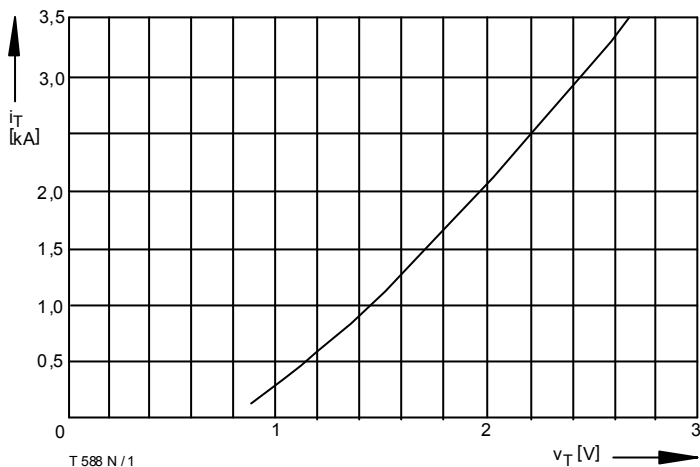


Bild / Fig. 1
Grenzdurchlaßkennlinie / Limiting on-state characteristic
 $i_T = f(v_T)$, $t_{vj} = t_{vj \max}$

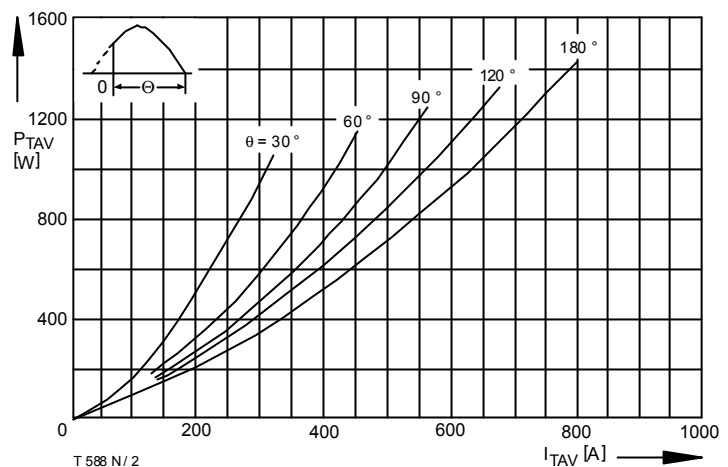


Bild / Fig. 2
Durchlaßverlustleistung / On-state power loss $P_{TAV} = f(I_{TAV})$
Parameter: Stromflußwinkel / Current conduction angle θ

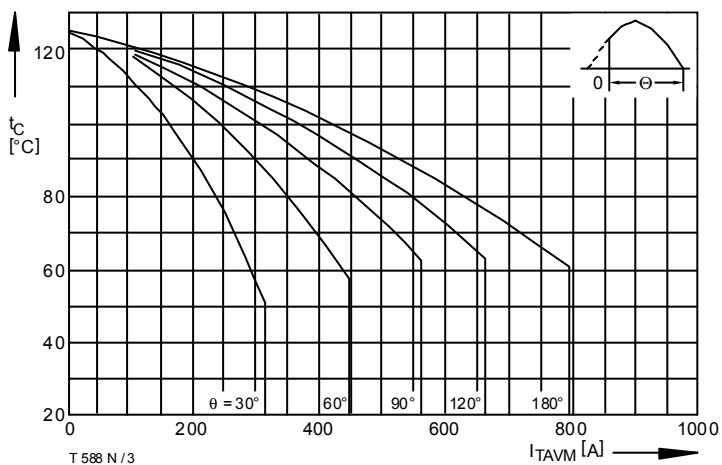


Bild / Fig. 3
Höchstzulässige Gehäusetemperatur / Max. allowable case temperature
 $t_C = f(I_{TAVM})$
Beidseitige Kühlung / Two-sided cooling
Parameter: Stromflußwinkel / Current conduction angle θ

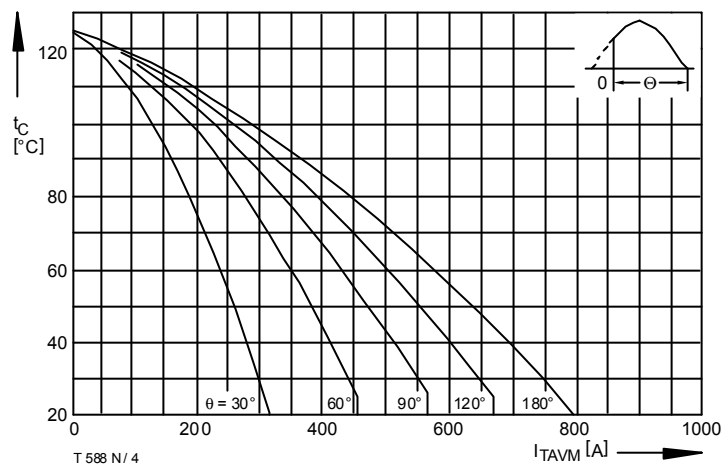


Bild / Fig. 4
Höchstzulässige Gehäusetemperatur / Max. allowable case temperature
 $t_C = f(I_{TAVM})$
Anodenseitige Kühlung / Anode-sided cooling
Parameter: Stromflußwinkel / Current conduction angle θ

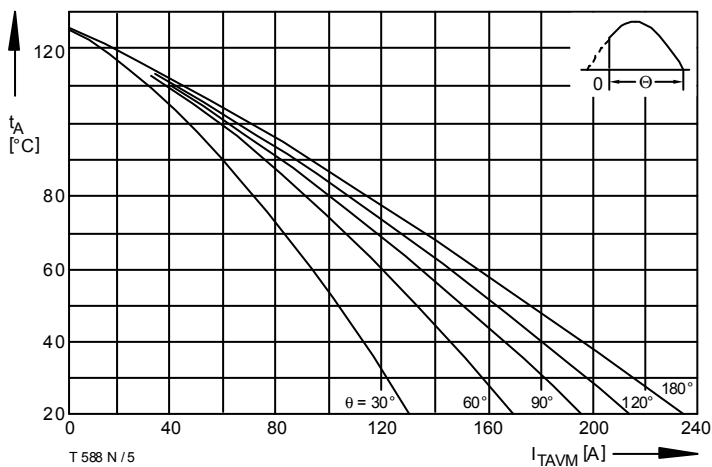


Bild / Fig. 5
Höchstzulässige Kühlmitteltemperatur / Max. allowable cooling medium
temperatur $t_A = f(I_{TAVM})$
Luftselbstkühlung / Natural air-cooling
Kühlkörper / Heatsink: K0.36S
Parameter: Stromflußwinkel / Current conduction angle θ

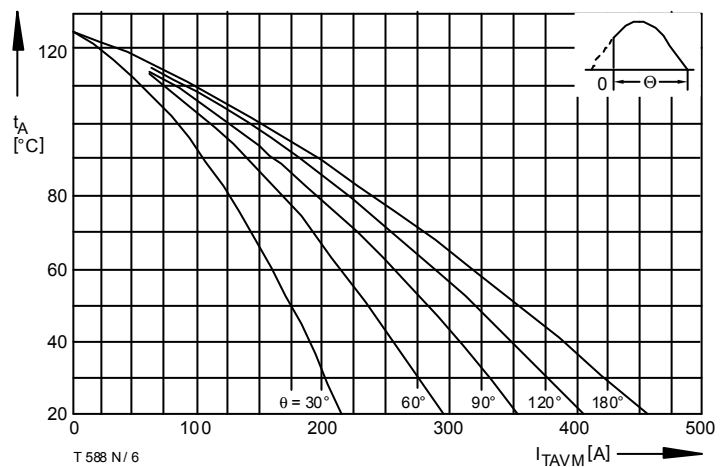


Bild / Fig. 6
Höchstzulässige Kühlmitteltemperatur / Max. allowable cooling medium
temperatur $t_A = f(I_{TAVM})$
Verstärkte Luftkühlung / Forced air cooling
Kühlkörper / Heatsink: K0.12F, $V_L = 50$ l/s
Parameter: Stromflußwinkel / Current conduction angle θ

T 588 N, T 589 N

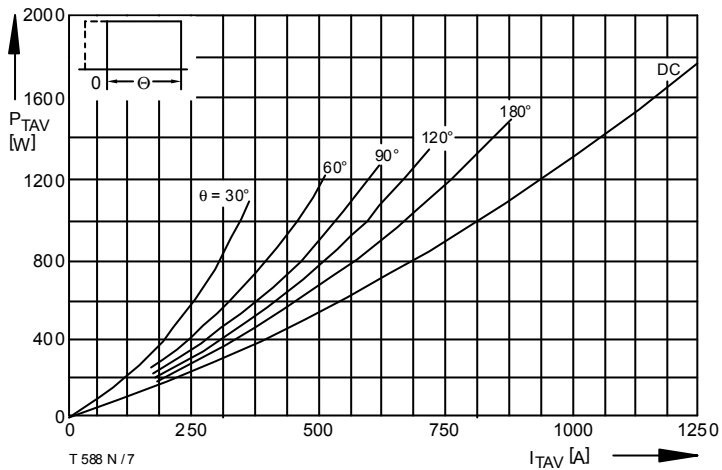


Bild / Fig. 7
Durchlaßverlustleistung / On-state power loss $P_{TAV} = f(I_{TAV})$
Parameter: Stromflußwinkel / Current conduction angle θ

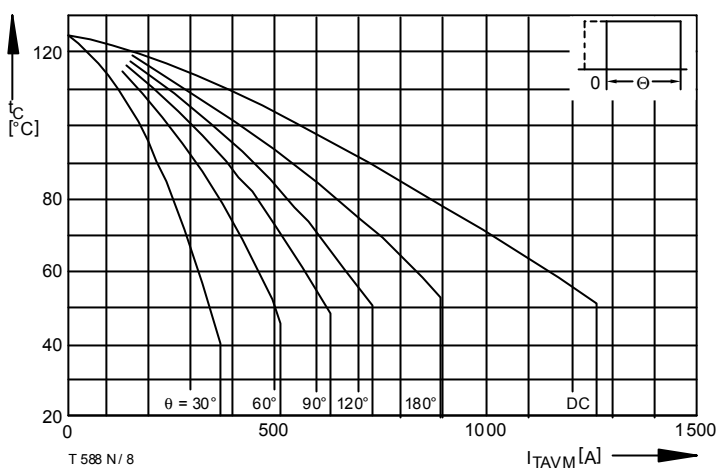


Bild / Fig. 8
Höchstzulässige Gehäusetemperatur / Max. allowable case temperature $t_C = f(I_{TAVM})$
Beidseitige Kühlung / Two-sided cooling
Parameter: Stromflußwinkel / Current conduction angle θ

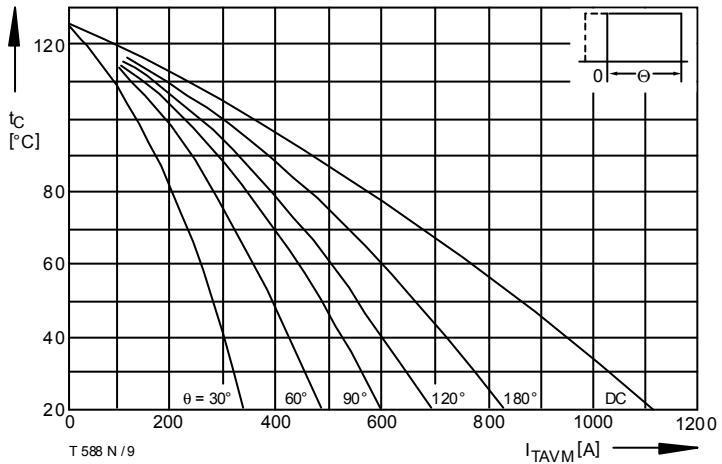


Bild / Fig. 9
Höchstzulässige Gehäusetemperatur / Max. allowable case temperature $t_C = f(I_{TAVM})$
Anodenseitige Kühlung / Anode-sided cooling
Parameter: Stromflußwinkel / Current conduction angle θ

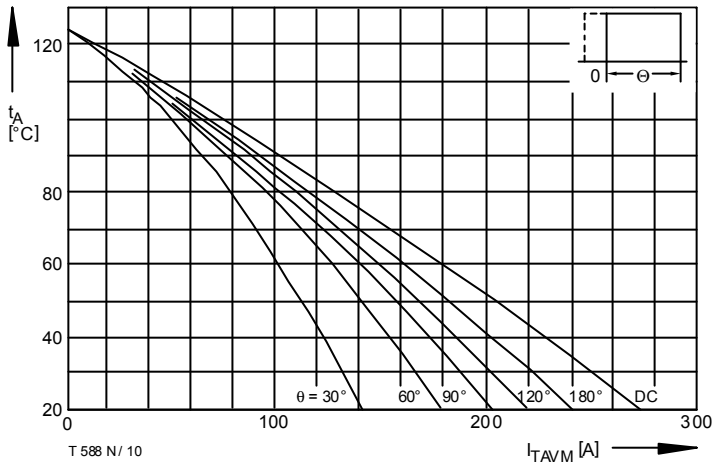


Bild / Fig. 10
Höchstzulässige Kühlmitteltemperatur / Max. allowable cooling medium temperature $t_A = f(I_{TAVM})$
Luftselbstkühlung / Natural air-cooling
Kühlkörper / Heatsink: K0.36S
Parameter: Stromflußwinkel / Current conduction angle θ

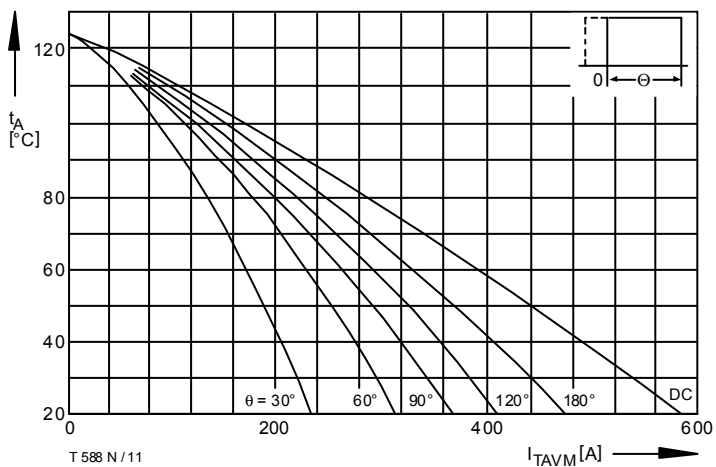


Bild / Fig. 11
Höchstzulässige Kühlmitteltemperatur / Max. allowable cooling medium temperature $t_A = f(I_{TAVM})$
Verstärkte Luftkühlung / Forced air cooling
Kühlkörper / Heatsink: K0.12F, $V_L = 50 \text{ l/s}$
Parameter: Stromflußwinkel / Current conduction angle θ

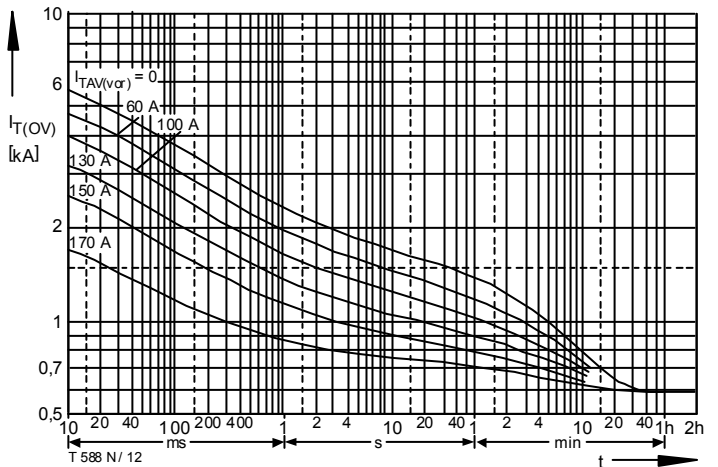
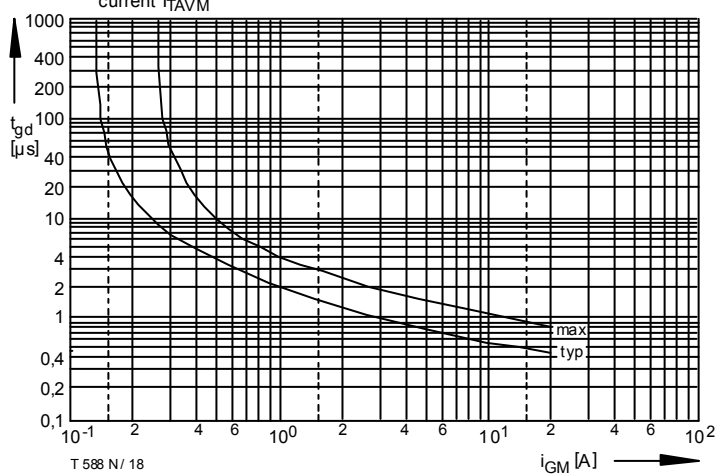
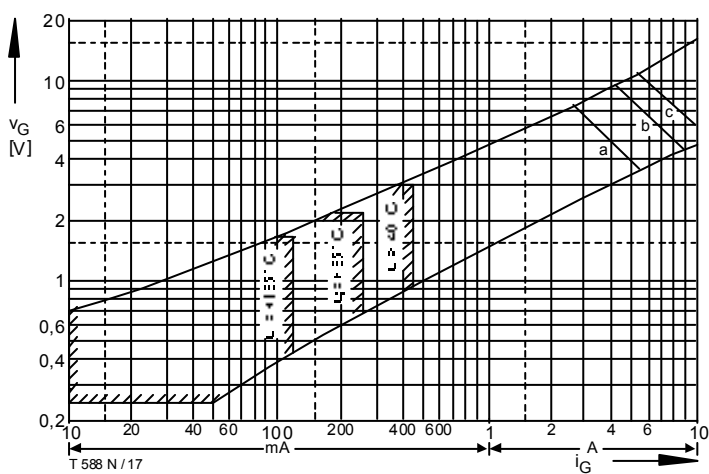
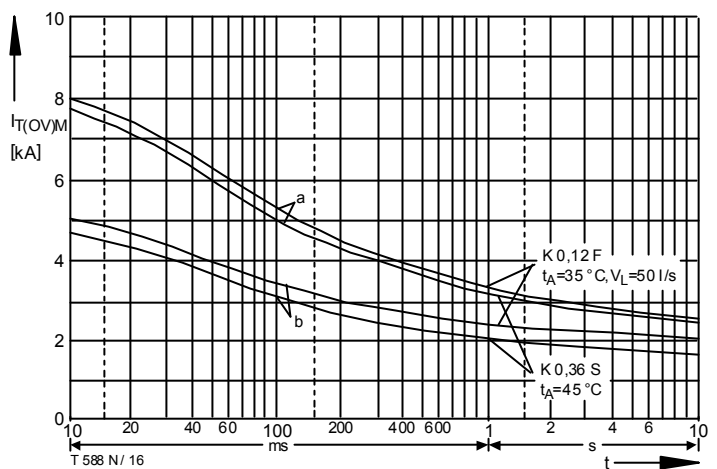
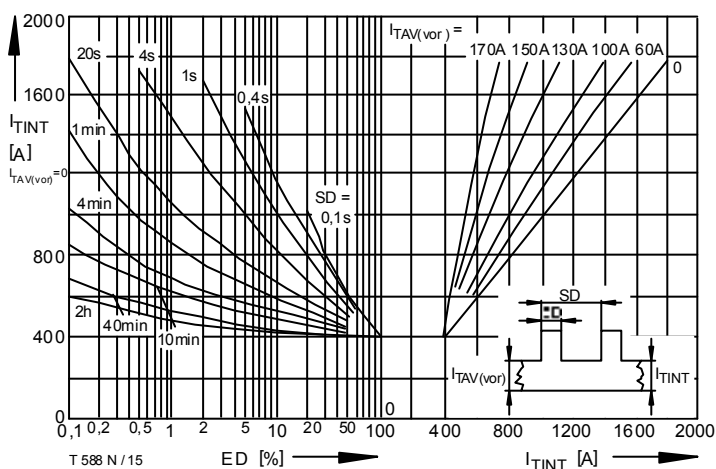
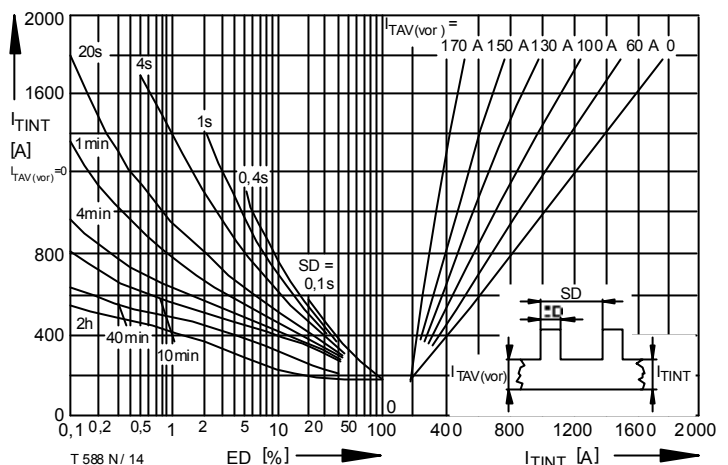
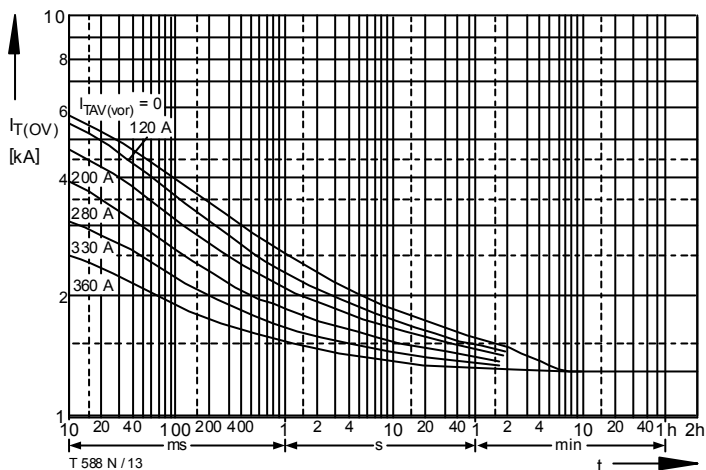


Bild / Fig. 12
Überstrom / Overload on-state current $I_{T(OV)} = f(t)$
Luftselbstkühlung / Natural air-cooling $t_A = 45^\circ\text{C}$
Kühlkörper / Heatsink: K0.36S
Parameter: Vorlaststrom / Pre-load current $I_{TAV(vor)}$

T 588 N, T 589 N



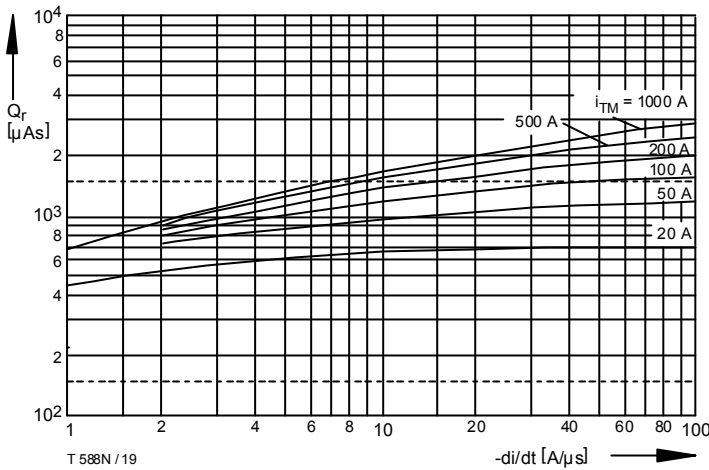


Bild / Fig. 19
Sperrverzögerungsladung / Recovered charge $Q_r = f(di/dt)$
 $t_{vj} = t_{vj \max}, V_R = 0,5 V_{RRM}, V_{RM} = 0,8 V_{RRM}$
Parameter: Durchlaßstrom / On-state current i_{TM}

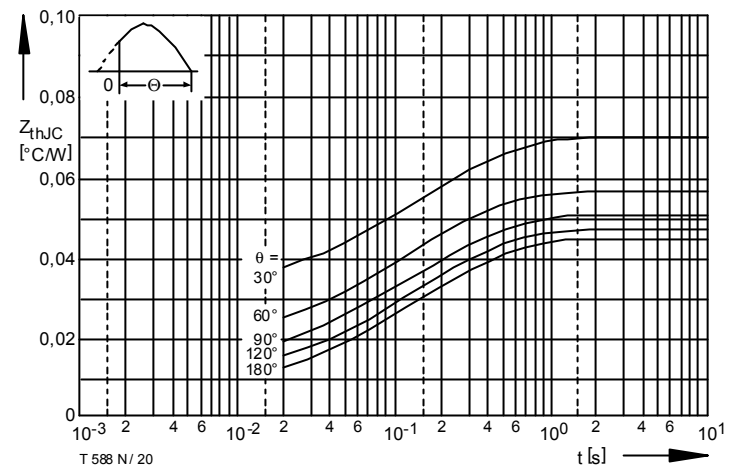


Bild / Fig. 20
Transienter innerer Wärmewiderstand / Transient thermal impedance
 $Z_{thJC} = f(t)$
Beidseitige Kühlung / Two-sided cooling
Parameter: Stromflußwinkel / current conduction angle θ

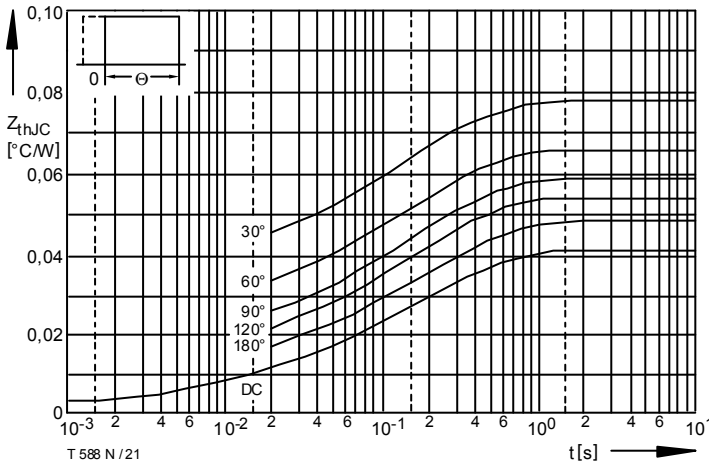


Bild / Fig. 21
Transienter innerer Wärmewiderstand / Transient thermal impedance
 $Z_{thJC} = f(t)$
Beidseitige Kühlung / Two-sided cooling
Parameter: Stromflußwinkel / current conduction angle θ

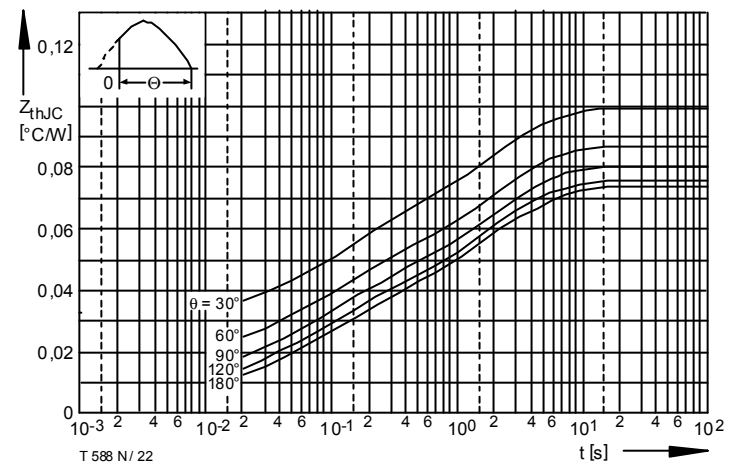


Bild / Fig. 22
Transienter innerer Wärmewiderstand / Transient thermal impedance
 $Z_{thJC} = f(t)$
Anodenseitige Kühlung / Anode-sided cooling
Parameter: Stromflußwinkel / current conduction angle θ

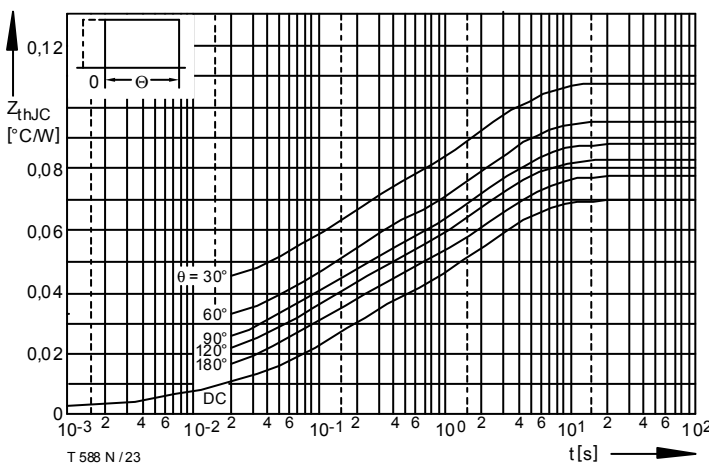


Bild / Fig. 23
Transienter innerer Wärmewiderstand / Transient thermal impedance
 $Z_{thJC} = f(t)$
Anodenseitige Kühlung / Anode-sided cooling
Parameter: Stromflußwinkel / current conduction angle θ

Analytische Elemente des transienten Wärmewiderstandes Z_{thJC} pro Zweig für DC
Analytical elements of transient thermal impedance Z_{thJC} per arm for DC

Beidseitig / Two-sided

Pos. n	1	2	3	4	5
R_{thn} [$^\circ\text{C/W}$]	0,00043	0,00557	0,019	0,016	
τ_n [s]	0,00027	0,00221	0,085	0,36	

Anodenseitig / Anode-sided

Pos. n	1	2	3	4	5
R_{thn} [$^\circ\text{C/W}$]	0,00034	0,00541	0,00486	0,0234	0,036
τ_n [s]	0,00024	0,0021	0,0376	0,158	2,47

Kathoden seitig / Cathode-sided

Pos. n	1	2	3	4	5
R_{thn} [$^\circ\text{C/W}$]	0,00026	0,00524	0,0132	0,0346	0,0468
τ_n [s]	0,00019	0,00192	0,0562	0,65	2,91

Analytische Funktion / Analytical function:

$$Z_{thJC} = \sum_{n=1}^{n_{\max}} R_{thn} \left(1 - e^{-\frac{t}{\tau_n}}\right)$$

Terms & Conditions of Usage

Attention

The present product data is exclusively subscribed to technically experienced staff. This Data Sheet is describing the specification of the products for which a warranty is granted exclusively pursuant the terms and conditions of the supply agreement. There will be no guarantee of any kind for the product and its specifications. Changes to the Data Sheet are reserved.

You and your technical departments will have to evaluate the suitability of the product for the intended application and the completeness of the product data with respect to such application. Should you require product information in excess of the data given in the Data Sheet, please contact your local Sales Office via "www.eupec.com / sales & contact".

Warning

Due to technical requirements the products may contain dangerous substances. For information on the types in question please contact your local Sales Office via "www.eupec.com / sales & contact".